

Mg_xNi_{1-x}Mn₂O₄ 薄膜结构与电学特性研究

张增辉^{1,2}, 刘芳^{1*}, 侯云^{2*}, 第文琦^{1,2}

(1. 上海理工大学 材料科学与工程学院, 上海 200093;
2. 中国科学院上海技术物理研究所 红外物理国家重点实验室, 上海 200083)

摘要:采用化学溶液沉积法在Al₂O₃衬底上生长了Mg_xNi_{1-x}Mn₂O₄(MNM, $x=0, 0.05, 0.10, 0.15, 0.20$)薄膜。通过X射线衍射仪和场发射扫描电子显微镜研究了Mg掺杂浓度对MNM薄膜的结构特性的影响,MNM薄膜均匀致密,具有良好的结晶性,为单一立方尖晶石结构。变温电流-电压特性研究显示,MNM薄膜的电输运特性符合小极化子变程跳跃电导模型,同时获得了不同Mg掺杂浓度的MNM薄膜的电阻率ρ、特征温度T₀和电阻温度系数α。研究结果表明,Mg的掺杂对MNM薄膜的结构和电学特性都有一定的影响。

关键词:镁掺杂;尖晶石氧化物;负温度系数

中图分类号:TН371 文献标识码:A

Study on the structural and electrical properties of Mg_xNi_{1-x}Mn₂O₄ thin films

ZHANG Zeng-Hui^{1,2}, LIU Fang^{1*}, HOU Yun^{2*}, DI Wen-Qi^{1,2}

(1. School of Material Science and Engineering, University of Shanghai for Science and Technology, Shanghai 200093, China;
2. State Key Laboratory of Infrared Physics, Shanghai Institute of Technical Physics,
Chinese Academy of Sciences, Shanghai 200083, China)

Abstract: The Mg_xNi_{1-x}Mn₂O₄ (MNM $x=0, 0.05, 0.10, 0.15, 0.20$) films were grown on Al₂O₃ substrate by chemical solution deposition method. The effect of Mg doping on the structural properties of MNM thin films was studied by x-ray diffractometer and field emission scanning electron microscopy. The results show that the MNM films have a single cubic spinel structure and the films are smooth and uniform, which have good crystallinity. The electrical measurements show that the conduction of MNM thin films can be described by a variable range hopping model. The values of resistivity, characteristic temperature T₀, temperature coefficient of resistance α for MNM thin films were obtained. The Mg concentration dependence of structural and electrical properties for MNM films was investigated.

Key words: Mg doping, spinel oxide, negative temperature coefficient of resistance

PACS: 84.32.Ff

引言

尖晶石结构过渡金属氧化物——锰酸镍(NiMn₂O₄)由于其优良的负温度系数(NTC)特性而被广泛应用于温度补偿器、热敏电阻器和红外探测器中^[1-4]。尖晶石氧化物通式为XY₂O₄,X位代表氧

四面体中心,Y位代表氧八面体中心,当加入其它元素到二元体系XY₂O₄中,会有部分X位的离子迁移到Y位,相应比例的Y位离子迁移到X位,从而会改变其微观结构,进而影响电学及光学特性^[5-7]。已有文献报道,掺杂Cu会导致NiMn₂O₄材料电阻R、材料系数B值的下降^[8-9];掺杂Co有利于

收稿日期:2017-01-21,修回日期:2017-06-21

Received date: 2017-01-21, revised date: 2017-06-21

基金项目:国家自然科学基金(61275111),上海市自然科学基金(15ZR1445700)

Foundation items: Supported by National Natural Science Foundation of China (61275111), and Natural Science Foundation of Shanghai (15ZR1445700)

作者简介(Biography):张增辉(1991-),男,硕士研究生,主要研究方向为热敏薄膜材料。E-mail:zhangzh414@163.com

* 通讯作者(Corresponding author): E-mail: liufang@usst.edu.cn, hyun@mail.sitp.ac.cn

NiMn_2O_4 材料系数 B 值的提高^[10];而 Mg 的加入,会提高 NiMn_2O_4 材料的抗氧化能力及热稳定性^[11]. 目前对于 Mg-Ni-Mn-O 体系的研究还不是很多,已报道为氧化物粉末高温烧结工艺制备的陶瓷材料的结果,而 Mg-Ni-Mn-O 薄膜的研究结果还未见报道. 薄膜的制备方法主要有:激光分子束外延(Laser Molecular Beam Exitaxy)^[12-14],射频磁控溅射(RF Sputtering)^[15],脉冲激光沉积(Pulsed Laser Deposition)^[16],化学溶液沉积法(CSD, Chemical Solution Deposition)^[17]等. 化学溶液沉积法制备薄膜具有设备简单,化学计量比容易控制、成本低等优点,是常用的一种薄膜材料制备方法.

采用 CSD 法在 Al_2O_3 衬底上生长了 $\text{Mg}_x\text{Ni}_{1-x}\text{Mn}_2\text{O}_4$ ($x = 0, 0.05, 0.10, 0.15, 0.20$) 系列薄膜,通过改变 Mg/Ni 的比例来研究掺杂 Mg 元素对薄膜材料微观结构和电学性能的影响.

1 试验方法

1.1 样品制备

选用四水乙酸锰(纯度≥99.0%)、四水乙酸镍(纯度≥99.0%)、四水乙酸镁(纯度≥99.0%)为起始原料,按照 $\text{Mn:Ni:Mg} = 2:1:0, 2:0.95:0.05, 2:0.9:0.1, 2:0.85:0.15, 2:0.8:0.2$ (原子比)称取原料,然后加入冰乙酸(纯度≥99.5%),并在70℃水浴中加热使其完全溶解. 放置一段时间后,用0.2 μm的注射过滤器过滤溶液,除去杂质,最终得到绿色透明的前驱体溶液用于制备 MNM 薄膜. 将 Al_2O_3 衬底在乙醇中超声清洗12 min,去除表面的污渍,然后放入快速退火炉中高温退火消除应力. 用滴管将前驱体溶液滴在匀胶机旋转的衬底上,旋转速率为3 000 r/min,时间为20 s,每旋涂好一层后,将湿膜放进快速退火炉中,首先在250℃退火1 min,使湿膜去除有机成分,接着在750℃退火5 min. 重复20次同样旋涂和加热退火步骤得到所需要厚度的材料.

1.2 测试与表征

采用 X 射线衍射仪(D/MAX-2550)分析薄膜的结构和结晶特性:X 射线采用 Cu-Kα 靶,工作电压是40 kV,扫描范围是10°~75°,步长精度为0.02°. 采用场发射扫描电子显微镜(FESEM, Sirion 200)观察薄膜的表面形貌及测量薄膜厚度. 薄膜材料的电学性能测试是使用高精度源表(Keithley2400)及温度控制器(Lakeshore330)等装置组成的变温测试系统来完成,测试范围为200~310 k.

2 结果与讨论

2.1 薄膜的结构特性与形貌观测

图1展示了CSD法生长在 Al_2O_3 衬底上的 $\text{Mg}_x\text{Ni}_{1-x}\text{Mn}_2\text{O}_4$ ($x = 0, 0.05, 0.10, 0.15, 0.20$) 薄膜的 XRD 图,众多尖锐衍射峰表明,五种组分的 MNM 薄膜都具有良好的结晶性,且均为立方尖晶石结构. 随着 Mg 掺杂浓度的增加, $\text{Mg}_x\text{Ni}_{1-x}\text{Mn}_2\text{O}_4$ ($x = 0.05, 0.10, 0.15, 0.20$) 薄膜(111)、(222) 及 (511) 衍射峰的强度逐渐降低.

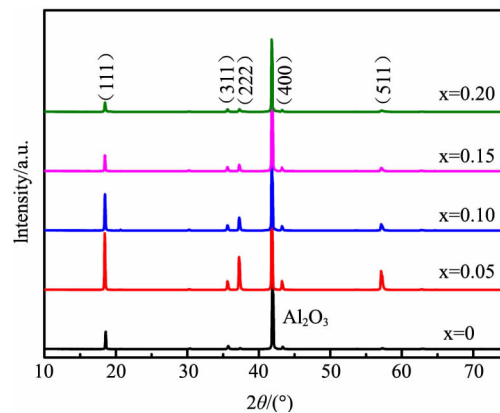


图1 $\text{Mg}_x\text{Ni}_{1-x}\text{Mn}_2\text{O}_4$ ($x = 0, 0.05, 0.10, 0.15, 0.20$) 薄膜的 XRD 图

Fig. 1 XRD patterns of $\text{Mg}_x\text{Ni}_{1-x}\text{Mn}_2\text{O}_4$ ($x = 0, 0.05, 0.10, 0.15, 0.20$) films

采用场发射扫描电镜观察了 MNM 薄膜的表面形貌,如图2(a)-(e)所示,从图中可以看出,五种组分的薄膜表面平整致密,没有明显的缺陷,且结晶性良好. 随着 Mg 掺杂浓度的增加,薄膜晶粒尺寸逐渐增大. 由于 Ni-O 的晶格能(4010 KJ/mol)大于 Mg-O 的晶格能(3791 KJ/mol)^[18],随着 Mg 掺杂浓度增加,MNM 薄膜形成立方尖晶石结构所需要的能量减少,因而在相同的热处理条件下,薄膜的晶粒尺寸逐渐增大. 图2(f)为 $\text{Mg}_{0.15}\text{Ni}_{0.85}\text{Mn}_2\text{O}_4$ 薄膜的截面图,可以观察到薄膜截面没有层与层之间的界限,薄膜很好地附着在 Al_2O_3 衬底上. 电镜测得的 $\text{Mg}_x\text{Ni}_{1-x}\text{Mn}_2\text{O}_4$ ($x = 0, 0.05, 0.10, 0.15, 0.20$) 薄膜的厚度分别为756 nm、756 nm、764 nm、756 nm、754 nm,这些是20层薄膜的厚度,可以大致计算出每层薄膜厚度约为38 nm,单层膜的厚度与制备过程中滴液的量以及旋转的速度相关.

2.2 电学分析与讨论

图3为在200~310 K 温度区间 MNM 薄膜电阻率与温度的变化曲线,从图中可以看出,在相同的温

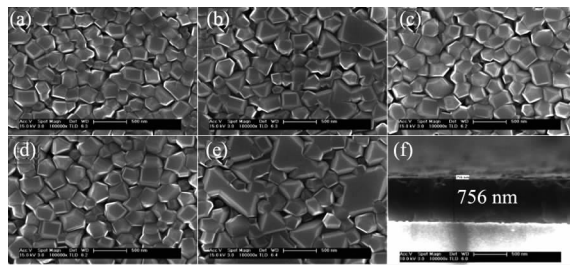


图2 (a)-(e) 分别为 $Mg_x Ni_{1-x} Mn_2 O_4$ ($x=0, 0.05, 0.10, 0.15, 0.20$) 薄膜的表面 FESEM 图,(f) 为 $Mg_{0.15} Ni_{0.85} Mn_2 O_4$ 薄膜的截面 FESEM 图

Fig. 2 (a)-(e) FESEM images of the $Mg_x Ni_{1-x} Mn_2 O_4$ ($x=0, 0.05, 0.10, 0.15, 0.20$) films, (f) Cross-sectional FESEM image of the $Mg_{0.15} Ni_{0.85} Mn_2 O_4$ films

度下,随着 Mg 掺杂浓度的增加,电阻率呈逐渐增加的趋势。对于二元尖晶石结构 $NiMn_2 O_4$ 而言,通常 Ni^{2+} 占据 X 位, Mn^{3+} 占据 Y 位。一般 Mn-Ni-O 体系材料具有一定的倒置度,导致部分 Ni^{2+} 进入 Y 位,使得占据 Y 位的 Mn^{3+} 成比例的拆分成 Mn^{2+} 和 Mn^{4+} ,其中 Mn^{2+} 进入 X 位填补 Ni^{2+} 的缺位,使得 Y 位中存在着 Ni^{2+} 、 Mn^{3+} 和 Mn^{4+} 混合状态,其中 Mn^{3+} 的一个 e_g 电子在 Mn^{3+} 和 Mn^{4+} 之间跳跃,形成跳跃传导^[19-20]。

当二元体系 $NiMn_2 O_4$ 中掺入 Mg 元素后, Mg^{2+} 为单一价态且不含有 3d 电子, Mg^{2+} 优先占据 X 位,由于 Mn^{2+} 比 Mg^{2+} 具有更强的占据 X 位的倾向,导致部分 Mg^{2+} 进入 Y 位,随着 Mg 含量的增加,进入 Y 位的 Mg^{2+} 数量也增加,使得八面体间隙中的 Mn^{3+}/Mn^{4+} 对浓度降低,从而减少了载流子的浓度,导致薄膜材料的电阻率增加^[21]。 $Mg_x Ni_{1-x} Mn_2 O_4$ ($x=0, 0.05, 0.10, 0.15, 0.20$) 薄膜在 295 K 温度下的电阻率分别为 5 496 $\Omega \cdot cm$ 、5 720 $\Omega \cdot cm$ 、5 838 $\Omega \cdot cm$ 、5 848 $\Omega \cdot cm$ 、6 924 $\Omega \cdot cm$,比体材料在 25 °C 的电阻率 (7 110 $\Omega \cdot cm$) 要小^[22]。 $NiMn_2 O_4$ 尖晶石过渡金属氧化物具有高灵敏度热敏特性的原因是,在声子的辅助下, Mn^{3+} 的 e_g 电子在八面体中心的 Mn^{3+} 和 Mn^{4+} 之间进行跳跃传导,而电子—声子耦合所引发的离子对跃迁电导对温度具有很高的依赖性。从图 3 可以看出,MNM 薄膜的电阻率与温度之间存在指数关系,跳跃电导的电阻率与温度的关系一般由下式描述^[19]:

$$\rho(T) = CT^\alpha \exp\left(\frac{T_0}{T}\right)^p \quad , \quad (1)$$

式(1)中, C 是常数, T 是绝对温度, T_0 是特征温度。

对于最近邻跳跃模型 (NNH), $\alpha = p = 1$; 对于变程跳跃模型 (VRH), $\alpha = 2p$ 。根据态密度 (DOS) 形状的不同,对应着不同的模型划分,Shklovskii 和 Efros 提出费米能级附近 DOS 呈抛物线分布时,对应 p 的取值为 0.5^[23]。 P 值一般以 Shklovskii 和 Efros 提出的方法求得,近似为 $\ln(W)$ 和 $\ln(T)$ 的斜率^[24]。

$$W = \frac{1}{T} \frac{d(\ln\rho)}{d(T^{-1})} \approx -P\left(\frac{T_0}{T}\right)^p \quad . \quad (2)$$

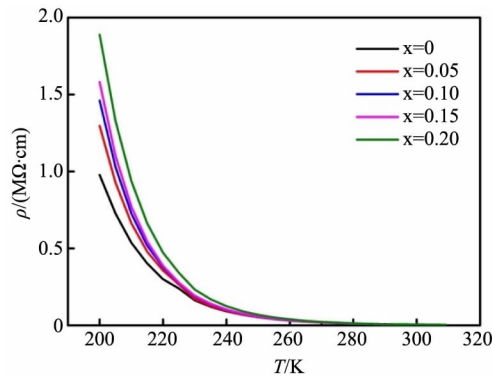


图3 $Mg_x Ni_{1-x} Mn_2 O_4$ ($x=0, 0.05, 0.10, 0.15, 0.20$) 薄膜的电阻率-温度曲线图

Fig. 3 Plots of resistivity vs temperature for $Mg_x Ni_{1-x} Mn_2 O_4$ ($x=0, 0.05, 0.10, 0.15, 0.20$) films

根据式(2)拟合 MNM 薄膜的 $\ln W$ - $\ln T$ 关系曲线如图 4 所示, $Mg_x Ni_{1-x} Mn_2 O_4$ ($x=0, 0.05, 0.10, 0.15, 0.20$) 薄膜对应的 p 值分别为 0.41 ± 0.02 、 0.5 ± 0.03 、 0.58 ± 0.02 、 0.61 ± 0.02 、 0.61 ± 0.02 。因此,在 250 ~ 310 K 之间,MNM 薄膜样品 p 值在 ES-VRH 模型的值 0.5 附近,表明 MNM 薄膜的局域态密度呈抛物线分布,为小极化子变程跳跃传导。

为了求得薄膜的特征温度,计算薄膜材料的激活能,可以根据 Nerst-Einstein 方程来描述材料的温度与电阻率关系^[25-26]:

$$\ln(\rho/T) = \ln(k/[Nc(1-c)N_{oct}e^2 d^2 v_0]) + T_0/T = A + B/T \quad , \quad (3)$$

式中, $A = \ln(k/[Nc(1-c)N_{oct}e^2 d^2 v_0])$, $B = T_0$, T_0 为系统特征温度, k 为玻尔兹曼常数, e 为电子电量, v_0 为跳跃频率, d 为跳跃距离, N_{oct} 为单位体积氧八面体中心的数量, $Nc(1-c)$ 代表 Mn^{3+} 和 Mn^{4+} 离子态毗邻的概率,其中 $N = [Mn^{3+}]_{oct} + [Mn^{4+}]_{oct}$, $C = [Mn^{4+}]_{oct}/([Mn^{3+}]_{oct} + [Mn^{4+}]_{oct})$ 。图 5 是根据式(3)得到的 MNM 薄膜的 $\ln\rho/T$ vs $1000/T$ 关系曲线,图形的斜率和截距分别为 MNM 薄膜的特征温度 T_0 和 A 值。从图 5 中可以得到 $Mg_x Ni_{1-x} Mn_2 O_4$

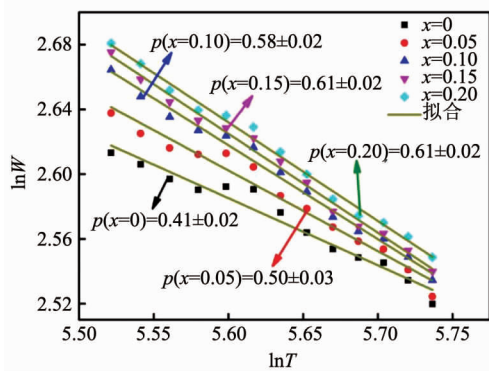


图 4 $\text{Mg}_x\text{Ni}_{1-x}\text{Mn}_2\text{O}_4$ ($x = 0, 0.05, 0.10, 0.15, 0.20$) 薄膜的 $\ln W$ - $\ln T$ 关系曲线

Fig. 4 Plots of $\ln W$ vs $\ln T$ for $\text{Mg}_x\text{Ni}_{1-x}\text{Mn}_2\text{O}_4$ ($x = 0, 0.05, 0.10, 0.15, 0.20$) films

($x = 0, 0.05, 0.10, 0.15, 0.20$) 薄膜的特征温度分别为 3292 K、3880 K、3929 K、3949 K、3976 K, 根据公式 $E = KT_0$ 即可求得薄膜的激活能, 为小极化子在八面体位置 $\text{Mn}^{3+}/\text{Mn}^{4+}$ 之间跳跃所需要的能量. MNM 薄膜的激活能 E 和 A 值列于表 1 中.

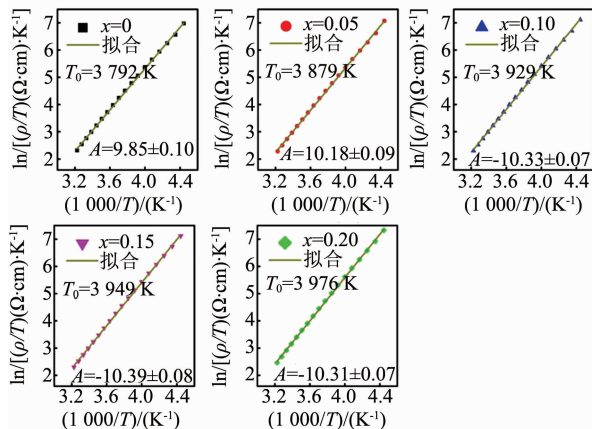


图 5 $\text{Mg}_x\text{Ni}_{1-x}\text{Mn}_2\text{O}_4$ ($x = 0, 0.05, 0.10, 0.15, 0.20$) 薄膜的 $\ln \rho/T - 1000/T$ 关系曲线

Fig. 5 Plots of $\ln \rho/T$ vs $1/1000T$ for $\text{Mg}_x\text{Ni}_{1-x}\text{Mn}_2\text{O}_4$ ($x = 0, 0.05, 0.10, 0.15, 0.20$) films

为了表征 MNM 薄膜的热敏性能, 选用 295 K 温度下负电阻温度系数 (TCR) α_{295} 作为主要指标, 材料的 TCR 计算公式为:

$$\alpha = \frac{1}{R} \frac{dR}{dT} \quad . \quad (4)$$

根据式(4)得到 MNM 薄膜样品的 TCR (K^{-1}) vs T 关系曲线, 如图 6 所示. 在相同的温度下, 随着 Mg 掺杂浓度的增加, MNM 薄膜的电阻温度系数的绝对值变大, 表明材料的灵敏度增加. 295 K 温度下

的电阻温度系数 (TCR) α_{295} 列于表格 1 中.

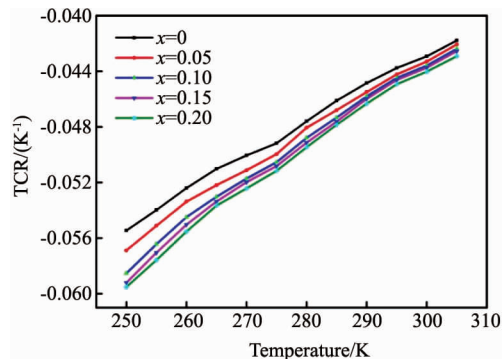


图 6 $\text{Mg}_x\text{Ni}_{1-x}\text{Mn}_2\text{O}_4$ ($x = 0, 0.05, 0.10, 0.15, 0.20$) 薄膜的 TCR vs T 关系曲线

Fig. 6 Plots of TCR vs T for $\text{Mg}_x\text{Ni}_{1-x}\text{Mn}_2\text{O}_4$ ($x = 0, 0.05, 0.10, 0.15, 0.20$) films

表 1 $\text{Mg}_x\text{Ni}_{1-x}\text{Mn}_2\text{O}_4$ ($x = 0, 0.05, 0.10, 0.15, 0.20$) 薄膜的激活能 E , 电阻温度系数 α_{295} 和 A 值

Table 1 The values of activation energy E , NTC α_{295} and A for $\text{Mg}_x\text{Ni}_{1-x}\text{Mn}_2\text{O}_4$ ($x = 0, 0.05, 0.10, 0.15, 0.20$) films

| | $x = 0$ | $x = 0.05$ | $x = 0.10$ | $x = 0.15$ | $x = 0.20$ |
|---|------------------|-------------------|-------------------|-------------------|-------------------|
| E/eV | 0.283 | 0.334 | 0.339 | 0.340 | 0.343 |
| $\alpha_{295}/$ (% K^{-1}) | -4.376 | -4.423 | -4.449 | -4.462 | -4.493 |
| A | -9.85 ± 0.10 | -10.18 ± 0.09 | -10.33 ± 0.07 | -10.39 ± 0.08 | -10.31 ± 0.07 |

如表 1 所列, $\text{Mg}_x\text{Ni}_{1-x}\text{Mn}_2\text{O}_4$ ($x = 0, 0.05, 0.10, 0.15, 0.20$) 薄膜的激活能 E 分别为 0.283 eV, 0.334 eV, 0.339 eV, 0.340 eV, 0.343 eV. 随着 Mg 掺杂浓度的增加, MNM 薄膜材料的激活能逐渐增大, MNM 薄膜激活能的大小反映了材料中小极化子跃迁的难易程度, 对应着小极化子自陷能逐渐增大^[6], 从而进一步验证了 Mg 的掺杂增加了 MNM 薄膜电阻率的规律. $\text{Mg}_x\text{Ni}_{1-x}\text{Mn}_2\text{O}_4$ ($x = 0, 0.05, 0.10, 0.15, 0.20$) 薄膜的电阻温度系数 α_{295} 分别为 -4.376%、-4.423%、-4.449%、-4.462%、-4.493%, 这一结果表明, Mg 元素的掺杂对 MNM 薄膜材料电阻温度系数 α_{295} 也产生了一定的影响, $\text{Mg}_{0.20}\text{Ni}_{0.8}\text{Mn}_2\text{O}_4$ 薄膜的电阻温度系数值相比于 NiMn_2O_4 薄膜增加了 2.7%.

3 结论

采用化学溶液沉积法在 Al_2O_3 衬底上生长了 $\text{Mg}_x\text{Ni}_{1-x}\text{Mn}_2\text{O}_4$ ($x = 0, 0.05, 0.10, 0.15, 0.20$) 薄膜. 通过 X 射线衍射仪和场发射扫描电子显微镜研究了 Mg 掺杂对 MNM 薄膜的微观结构的影响, 随着

Mg掺杂浓度的增加,MNM薄膜(111)、(222)及(511)衍射峰的强度逐渐降低,薄膜晶粒尺寸逐渐增大。变温I-V特性研究显示,MNM薄膜的电阻率ρ、特征温度T₀和电阻温度系数α随着Mg掺杂浓度的增加而增大。

References

- [1] Hou Y, Huang Z M, Gao Y Q, et al. Characterization of Mn_{1.56}Co_{0.96}Ni_{0.48}O₄ films for infrared detection [J]. *Applied Physics Letters*. 2008, **92**(20):202115.
- [2] Ouyang C, Zhou W, Wu J, et al. Uncooled bolometer based on Mn_{1.56}Co_{0.96}Ni_{0.48}O₄ thin films for infrared detection and thermal imaging [J]. *Applied Physics Letters*. 2014, **105**(2):022105.
- [3] Jagtap S, Rane S, Gosavi S, et al. Characterization and electrical properties of spinel-type environment friendly thick film NTC thermistors [J]. *Journal of the European Ceramic Society*. 2008, **28**(13):2501–7.
- [4] Zhou W, Ouyang C, Wu J, et al. Investigation on preparation method and performance of Mn_{1.56}Co_{0.96}Ni_{0.48}O₄ thin film IR detector [J]. *Infrared and Laser Engineering*. (周炜,欧阳程,吴敬,等. 锰钴镍铜氧薄膜红外探测器制备与性能研究 [J]. 红外与激光工程). 2014, **43**:1073–9.
- [5] Wu J, Huang Z M, Hou Y, et al. Structural, electrical, and magnetic properties of Mn_{2.52-x}Co_xNi_{0.48}O₄ films [J]. *Journal of Applied Physics*. 2010, **107**(5):053716.
- [6] Wu J, Huang Z M, Zhou W, et al. Investigation of cation distribution, electrical, magnetic properties and their correlation in Mn_{2-x}Co_{2x}Ni_{1-x}O₄ films [J]. *Journal of Applied Physics*. 2014, **115**(11):113703.
- [7] Wei S H, Zhang S B. First-principles study of cation distribution in eighteen closed-shell A^{II}B₂^{III}O₄ and A^{IV}B₂^{II}O₄ spinel oxides [J]. *Physical Review B*. 2001, **63**(4):045112.
- [8] Castelan P, Ai B, Loubiere A, et al. Aging study of nickel-copper-manganite negative temperature coefficient thermistors by thermopower measurements [J]. *Journal of Applied Physics*. 1992, **72**(10):4705–9.
- [9] Ma C J, Liu Y F, Lu Y N, et al. Effect of Zn substitution on the phase, microstructure and electrical properties of Ni_{0.6}Cu_{0.5}Zn_xMn_{1.9-x}O₄ (0≤x≤1) NTC ceramics [J]. *Materials Science and Engineering: B*. 2014, **188**:66–71.
- [10] Kanade SA, Puri V. Composition dependent resistivity of thick film Ni_{1-x}Co_xMn₂O₄: (0≤x≤1) NTC thermistors [J]. *Materials Letters*. 2006, **60**(11):1428–31.
- [11] Wang J Y. Preparation of Mg_xNi_{1-x}Mn_{2-x}O₄ thermistor with high stability from Sol-Gel-Derived powders [J]. *Rare Metal Materials and Engineering*. (王疆瑛. 溶胶-凝胶法制备高稳定性Mg_xNi_{1-x}Mn_{2-x}O₄系列热敏电阻. 稀有金属材料与工程). 2010, **39**:364–7.
- [12] Xie Y H, Ji G, Bu H J, et al. Effect of oxygen partial pressure and temperature on NTC characteristics of Mn_{1.56}Ni_{0.96}O₄ thin films grown on SrTiO₃ (100) by laser MBE [J]. *Journal of Alloys and Compounds*. 2014, **611**:100–3.
- [13] Ji G, Chang A M, Li H Y, et al. Epitaxial growth of Mn-Co-Ni-O thin films and thickness effects on the electrical properties [J]. *Materials Letters*. 2014, **130**:127–30.
- [14] Ji G, Chang A M, Xu J B, et al. Low-temperature (<300°C) growth and characterization of single-[100]-oriented Mn-Co-Ni-O thin films [J]. *Materials Letters*. 2013, **107**:103–6.
- [15] Zhou W, Zhang L B, Ouyang C, et al. Micro structural, electrical and optical properties of highly (220) oriented spinel Mn-Co-Ni-O film grown by radio frequency magnetron sputtering [J]. *Applied Surface Science*. 2014, **311**:443–7.
- [16] Kong W W, Wei W, Gao B, et al. Mn_{1.56}Co_{0.96}Ni_{0.48}O₄±δ flexible thin films fabricated by pulsed laser deposition for NTC applications [J]. *Materials Science and Engineering: B*. 2016, **206**:39–44.
- [17] Gao Y Q, Huang Z M, Hou Y, et al. Crystallization-dependent magnetic properties of Mn_{1.56}Co_{0.96}Ni_{0.48}O₄ thin films [J]. *Applied Surface Science*. 2010, **256**(8):2552–6.
- [18] Mu L L, Feng C J. Topological research on lattice energies for inorganic compounds [J]. *MATCH Commun Math Comput Chem*. 2006, **56**:97–111.
- [19] Schmidt R, Basu A, Brinkman A W, et al. Electron-hopping modes in NiMn₂O_{4+δ} materials [J]. *Applied Physics Letters*. 2005, **86**(7):073501.
- [20] Coey J M D, Viret M, Ranno, L. Electron localization in mixed-valence manganites [J]. *Phys Rev Lett*. 1995, **75**(21):3910–3.
- [21] Amer M A, Meaz T M, Attalah S S, et al. Structural phase transformation of as-prepared Mg-Mn nanoferrites by annealing temperature [J]. *Materials Characterization*. 2015, **110**:197–207.
- [22] Wang Z B, Wu L, Zhao S Y, et al. Effect of dosage on Ni-Mn-O doped NTC thermo-sensitive ceramics and their electrical properties [J]. *Journal of the Chinese Ceramic Society*. (王忠兵,吴蕾,赵肃莹,等. 掺杂对Ni-Mn-O系NTC热敏陶瓷及其电学性能的影响. 硅酸盐学报). 2009, **37**:927–31.
- [23] Efros A L, Shklovskii B I. Coulomb gap and low temperature conductivity of disordered systems [J]. *J Phys C: Solid State Phys*. 1975, **8**:L49–L51.
- [24] Shklovskii B I, Efros A L. *Electronic properties of doped semiconductors* [M]. Springer-Verlag, Berlin. 1984.
- [25] Wu J, Huang Z M, Hou Y, et al. Structural, electrical, and magnetic properties of Mn_{2.52-x}Co_xNi_{0.48}O₄ films [J]. *Journal of Applied Physics*. 2010, **107**:053716.
- [26] Yokoyama T, Meguro T, Shimada Y, et al. Preparation and electrical properties of sintered oxides composed of Mn_{1.5}Co_{0.25+x}Ni_{1.25-x}O₄ (0≤x≤0.75) with a cubic spinel structure [J]. *Journal of Materials Science*. 2007, **42**(14):5860–6.